



## ارتباط انتشار پرتو X سخت با الکترون‌های گریزان در توکامک دماوند

محمود مصلحی‌فرد<sup>\*۱</sup>، ناصر علی‌نژاد<sup>۲</sup>

۱- دانشکده فیزیک، دانشگاه تبریز، صندوق پستی: ۱۶۶۴۵، تبریز - ایران

۲- پژوهشکده فیزیک پلاسما و گداخت هسته‌ای، سازمان انرژی اتمی ایران، صندوق پستی: ۱۴۳۹۵-۸۳۶، تهران - ایران

**چکیده:** انتشار پرتو X سخت در توکامک دماوند، هم‌زمان با تحول زمانی جریان پلاسما و ولتاژ حلقه، مورد بررسی قرار گرفته است. در این کار تجربی شاشهایی را در نظر گرفته‌ایم که در آن‌ها جریان پلاسما از ۱۷ تا ۳۲kA تغییر می‌کرد. تحول زمانی جریان پلاسما تا مرحله‌ی گسیختگی، تحول زمانی ولتاژ حلقه و پرتو X منتشره تجزیه و تحلیل شده است. در جریان‌های کم‌تر از ۲۰kA پرتو X سخت به هنگام مرحله‌ی گسیختگی مشاهده می‌شود و مدت دوام تخلیه کم‌تر از ۱۰ms می‌باشد، ولی برای جریان‌های پلاسمای بیش‌تر از ۲۰kA، پرتو X سخت از شروع تخلیه تا گسیختگی پلاسما که حدود ۲۰ms طول می‌کشد مشاهده می‌شود. دو روند تولید الکترون گریزان در این توکامک ملاحظه می‌شود. روند اول مشابه با مشاهدات انجام یافته در سایر توکامک‌ها و به هنگام گسیختگی است. این روند با استفاده از نظریه دریسر تولید الکترون گریزان، قابل درک است. روند دوم که تقریباً از شروع تا پایان تخلیه قابل مشاهده است با پدیده‌ی بهمن مرتبط می‌باشد.

**واژه‌های کلیدی:** پرتو X سخت، الکترون گریزان، توکامک، از هم گسیختگی پلاسما

## Relation between Hard X-Ray Emission and Runaway Electrons in Damavand Tokamak

M. Moslehi Fard<sup>\*1</sup>, N. Alinejad<sup>2</sup>

1- Faculty of Physics, University of Tabriz, P.O.Box: 51664, Tabriz - Iran

2- Nuclear Fusion and Plasma Physics Research School, AEOI, P.O. Box: 14395-836, Tehran-Iran

**Abstract:** In this experimental work, hard x-ray emission in Damavand tokamak along with the temporal evolution of plasma current and loop voltage have been studied for shots in which plasma current varies from 17 to 32kA. The time evolution of plasma current from beginning of the discharge to the disruption phase, loop voltage, and hard x-ray emission has been analyzed. The hard x-ray emission for the plasma current less than 20kA has been observed during the disruption phase, where the discharge duration is less than 10ms. For plasma current is more than 20kA, however, hard x-ray can be observed at the beginning to the disruption phase and it persists for 20ms. Two kinds of regimes can be realized for the runaway electron production in this tokamak. The first regime is similar to other tokamaks and takes place during the disruption phase. This regime is understood by Dreicer theory of runaway electron production. The second regime which is observed from the beginning to the end of discharge is related to the avalanche event.

**Keywords:** Hard X-Ray, Runaway Electrons, Tokamak, Plasma Disruption

\*email: moslehi@tabrizu.ac.ir

تاریخ دریافت مقاله: ۸۵/۶/۳ تاریخ پذیرش مقاله: ۸۷/۶/۳

## ۱- مقدمه

در فرایند MHD<sup>(۱)</sup>، رشد یک جزیره‌ی مغناطیسی از مقیاس میکروسکوپی به مقیاس ماکروسکوپی به هنگام اتصال مجدد انجام می‌گیرد. از نظر فیزیکی اتصال مجدد مغناطیسی در حضور مقاومت الکتریکی ممکن است رخ دهد. برخوردهای دوتایی بین الکترون‌ها و یون‌های مثبت وجود دارد. در پلاسمای توکامک و در دمای بالا برخوردهای کولنی زیاد نیستند و ساز و کار خطوط میدان شکسته بی‌تأثیر است.

از طرف دیگر جریان‌های پلاسما توسط اثرهای غیراتلافی نظیر لختی الکترون‌ها و تشدیدهای موج-ذره محدود می‌شوند. در تخلیه‌های پلاسمایی JET در دمای الکترون بالا، اتصال مجدد برخوردی مشاهده شده است [۳]. در این تخلیه‌ها زمان برخورد الکترون-یون  $\tau_{ei}$ <sup>(۲)</sup> قابل مقایسه با حتی بزرگ‌تر از زمان واهلش دندانه ارهای داخلی است. برای مقادیر بتای بزرگ پلاسما در توکامک، شعاع لارمور یونی بزرگ‌تر از عمق پوسته پلاسما است. بنا نسبت فشار پلاسما به فشار مغناطیسی است.

در مورد پلاسمای توکامک نوعی، مدهای پارگی سوق بی‌برخوردی ممکن است ظاهر شوند [۴]. وقتی بسامد دیامغناطیسی الکترون  $m=1$ <sup>(۳)</sup> بزرگ‌تر از  $\tau_{ei}$  باشد، مدهای داخلی با عدد مد قطبی  $m=1$  ظاهر می‌شوند که اغلب به رخدادهای واهلش دندانه ارهای وابسته‌اند. رده‌ی خاصی از مدها با پارامتر پایداری پارگی وجود دارند که در مرحله‌ی ناپایداری خطی می‌توانند در مقیاس زمانی سریع‌تر از زمان برخورد الکترون-یون رشد کنند. هر دو مد پارگی و  $m=1$  را می‌توان به صورت رخدادهای اتصال مجدد خودبه‌خودی <sup>(۴)</sup> رده‌بندی کرد.

اخیراً افت و خیزهای الکترومغناطیسی در تجربیات اتصال مجدد آشکار و توصیف‌های نظری برای آن‌ها پیدا شده است. این افت و خیزها نقش معناداری در فیزیک اتصال مجدد دارند. مقاومت طبیعی پلاسما افزایش می‌یابد و سرعت فرایند اتصال مجدد بالا می‌رود، بنابراین اتصال مجدد مغناطیسی سریع‌تر از مدل اسویت-پارکر عمل می‌کند.

در اتصال مجدد برخوردی، گرمایش اصلی وابسته به تراکم بی‌دررو و افزایش چگالی در یک لایه‌ی بدون مقاومت و برای یک عنصر طولی سیالی ثابت،  $\frac{B}{n}$  ثابت است. با عبور به داخل لایه، B به طور آشکار کاهش می‌یابد. در هر رخداد اتصال

اتصال مجدد خطوط میدان مغناطیسی در پلاسماهای رقيق با رسانش بالا رخ می‌دهد. تپولوژی خطوط میدان مغناطیسی تغییر یافته و با تشکیل لایه‌های جریان، انرژی مغناطیسی به انرژی‌های جنبشی و گرمایی پلاسما تبدیل می‌شود. حرکت پلاسما با رسانش بالا از قانون انجماد مغناطیسی تعیت می‌کند. خطوط میدان در خلاف جهت یکدیگر می‌توانند به هم دیگر نزدیک شده با یکدیگر تماس پیدا کنند. حرکت پلاسما، ممکن است خطوط میدان مغناطیسی را از هم جدا کرده و دوباره آن‌ها را به هم پیوند دهد. در حضور یک مقاومت معین، حتی اندک، چنین اتصال مجدد بدون تماس خطوط رخ می‌دهد. در واقع خطوط میدان در جهت‌های مختلف به هم دیگر نزدیک می‌شوند و در نزدیکی نقطه‌ی تماس یک چگالی جریان بالا به وجود می‌آید. در فرایند اتصال مجدد، مقاومت معین در ناحیه‌های کوچک با چگالی جریان بالا، اهمیت دارد.

مد پارگی فقط در گستره‌ی محدودی از مقادیر معمولی میدان مغناطیسی وجود دارد. درون این گستره حتی یک اختلال ضعیف در پلاسما ممکن است لایه را به یک نقطه‌ی حالت X انتقال دهد که در آن پایداری به وسیله‌ی میدان عرضی ناپذید می‌شود و مد پارگی در روند غیرخطی توسعه می‌یابد. هر بازآرایی میدان مغناطیسی با تبدیل کسری از انرژی مغناطیسی به انرژی ذرات شتاب‌دار همراه است. کاهش چگالی در نقطه‌ی X و توسعه‌ی لایه‌ی جریان، به شتاب ذرات منجر می‌شود.

رفار حقیقی پلاسمای چنبره‌ای خیلی پیچیده است. در توکامک ناپایداری گسیختگی اتفاق می‌افتد که اغلب به تخریب کامل پلاسما و قطع جریان می‌انجامد. طبیعت ناپایداری گسیختگی از مدت‌ها قبل مورد بررسی قرار گرفته است و هنوز هم کاملاً روشن نیست. یکی از فرایندهای در ک آن در نوسان‌های دندانه ارهای ظاهر می‌شود. این پذیده با واهلش نوسان‌های متابوی آشکار می‌گردد که قلب پلاسما به تدریج گرم شده و دمای مرکزی افزایش می‌یابد. دمای مرکز پلاسما به طور ناگهانی افت پیدا کرده و گرمای آن در راستای شعاع  $R_s$  خروجی کاهش می‌یابد [۱ و ۲]. این شعاع به طور قابل ملاحظه‌ای کوچک‌تر از شعاع  $a$  پلاسما است.



از حرکت الکترون‌ها در نقطه‌ی X واجفت می‌شود و بین امواج سوت کش و آلفون جنبشی تزویج وجود دارد [۹].

برخلاف پرتو X سخت کالاسیک تولید شده به هنگام برهم کنش باریکه‌های الکtron گریزان با دیواره‌ی توکامک، انفجارهای<sup>(۳)</sup> داخلی به نشر ترمیز الکترون‌های ابرگرمایی از پلاسمای حول سطوح مغناطیسی  $q=2$  و  $q=1$  وابسته‌اند. باریکه‌های الکترون‌های ابرگرمایی، به هنگام اتصال مجدد مغناطیسی حول نقاط X با  $m=1$ ,  $n=1$ ,  $m=2$ ,  $n=1$  ممکن است در جزایر مغناطیسی به وجود آیند [۱۰].

اختلالات مقیاس - کوچک پلاسمای در توکامک، نوعاً در حد گسیختگی‌های چگالی مشاهده شده‌اند. مرحله‌ی نهایی گسیختگی با افزایش تابش ناشی از برهم کنش پلاسمای دیواره و شار ورودی ناخالصی درونی، افزایش می‌یابد. فرایند گسیختگی منتهی به فروپاشی جریان پلاسمای  $\text{I}_{\text{HXR}}$  با افزایش ولتاژ حلقه و انفجارهای حاصل از نشر پرتو X ( $\text{I}_{\text{HXR}}$ ) در توکامک دماوند مشاهده می‌شود.

## ۲- مدل تئوری

پدیده‌ی گسیختگی، ناپایداری‌های پیچیده‌ای را در یک توکامک دارا است. اتلاف سریع پلاسمای محبوس به هنگام یک گسیختگی با موج ضربه‌های گرمایی شدید و تشنهای مکانیکی روی ساختار توکامک همراه است. عموماً ناپایداری با رشد مقیاس - بزرگ مدهای اختلالات مارپیچ وار پلاسمای (MHD) با عدد مدهای چنبره‌ای و قطبی پایین یعنی  $n \approx 1-2$ ,  $m \approx 1-3$ ،  $n \approx 1-2$ ,  $m \approx 1-3$  مربوط است. رشد مدهای MHD با تشکیل جزایر مغناطیسی حول سطوح مغناطیسی تشدیدی با مقادیر گویا از ضربی ایمنی  $q$  همراه است  $d\Psi_{\text{p}}/d\Psi_{\text{p}} = q$  که  $\Psi_1$  و  $\Psi_2$  در آن، شارهای چنبره‌ای و قطبی هستند). گسیختگی‌ها را نمی‌توان با خودسازگاری توسط رشد مدهای MHD بزرگ - مقیاس توصیف کرد. یکی از توصیف‌های ممکن پدیده عبارت است از در نظر گرفتن اختلالات مقیاس - کوچک، همزمان با مدهای MHD. اختلالات مقیاس - کوچک با اعداد  $m$  و  $n$  بالا مسلط MHD. مدهای MHD بزرگ - مقیاس را فراهم آورد که شامل تخریب شبه بهمن حبس پلاسمای یک گسیختگی است.

مجدد مغناطیسی معمولی، انساط طولی پلاسمای در راستای میدان، پلاسمای را به بیرون می‌راند. تراکم طولی پلاسمای در لایه‌ی اتصال مجدد، سبب گرمایش می‌شود [۵].

علاوه بر فرایند MHD فرایندهای دیگری توسط نظریه‌پردازان ارایه شده‌اند که در برخی از آن‌ها افت و خیزهای الکترواستاتیکی به صورت ناپایداری دو جریانی تغییر یافته در نظر گرفته شده است. ولی ناپایداری جریان دیامغناطیسی وجود ندارد [۶ و ۷]. در اینجا نظریه شبه خطی درنظر گرفته می‌شود. نیروی وارد بر الکترون‌ها سبب افزایش مقاومت پلاسمای می‌شود. در واقع امواج در لایه‌ی اتصال مجدد وجود دارند و مقاومت، مستقل از هر نظریه‌ی اتصال مجدد پیش‌بینی می‌شود. با در نظر گرفتن معادله‌ی حرکت الکترون و با استفاده از معادلات ماکسول برای یون گرم یک رابطه‌ی پاشندگی به دست می‌آید که ریشه‌های آن دو موج سوت‌کش و موج صوتی هستند. در نظریه‌ی شبه خطی، عبور باریکه‌ی الکترونی گرم از درون پلاسمای سبب به وجود آمدن امواج پلاسمایی و مستقل از مقاومت پلاسمای شدن نظریه‌ی اتصال مجدد می‌گردد. برهم کنش بین موج صوتی و موج سوت‌کش سبب به وجود آمدن نیرویی بر روی الکترون‌ها می‌شود که می‌توان آنرا ضمن بررسی امواج در فرایند اتصال مجدد به صورت یک موج با ضربی مقاومت  $\eta_w$  درنظر گرفت. نیروی وارد بر الکترون‌ها  $F_e = -(\eta_{sp} + \eta_w)nej$ ، گرمایش کل پلاسمای  $\eta^*$  ( $\eta_{sp} + \eta_w$ )، شبیه آهنگ گرمایش اهمی در اثر برخوردهای الکترون - یون،  $\eta^* = \eta_{sp} + \eta_w$  است. افت و خیزهای مغناطیسی قابل توجهی ضمن تجربیات مشاهده شده‌اند که در آن‌ها آهنگ اتصال مجدد بزرگ‌تر از آهنگ اتصال مجدد اسویت - پارکر است. اتصال مجدد آنومالی با تشکیل موج ضربه‌ی سریع پیشنهاد شده است که سریع‌تر از مدل اسویت - پارکر می‌باشد [۸]. مقاومت جریان سطحی به وسیله‌ی اثرهای آنومالی به طور قابل ملاحظه‌ای افزایش می‌یابد، وقتی طول تراکم کوچک‌تر از شعاع چرخشی یون باشد، سبب تسريع اتصال مجدد و افزایش انرژی گرمایی یون با نیروی تراکم خارجی می‌گردد. مقاومت آنومالی نظیر جریان شدید الکترون - یون در نزدیکی خط X ایجاد تلاطم کرده و مقاومت وابسته به آن را افزایش می‌دهد. در فاصله‌ی  $\frac{C}{(n\pi)}$ ، حرکت یون

نقش مهمی به هنگام گسیختگی بازی می‌کند. وقتی یک میدان الکتریکی چنبره‌ای بالا از طریق القا تولید می‌شود، جریان پلاسمای به جریان الکترون گریزان تبدیل می‌شود. تولید الکترون گریزان با افزایش چگالی پلاسمای افزایش می‌یابد در حالی که در فرایند دریسر عکس این اتفاق می‌افتد.

در توکامک دماوند میدان الکتریکی بحرانی حدود  $2Vm^{-1}$ ، سرعت بحرانی  $90 \approx 7$  محاسبه شد. انرژی الکترون‌های دنباله‌ی توزیع حدود  $65 keV$  و میدان الکتریکی دریسر  $ED \approx 26 Vm^{-1}$  است.

در توکامک TCABR با کاهش چگالی پلاسمای کمتر از  $10^{19} m^{-3}$  شرایط روند I فراهم می‌شود که دارای مشخصات تخلیه‌ی معمولی است [۱۵]. روند اول با تولید الکترون‌های گریزان بر طبق نظریه‌ی دریسر در کمتر از  $10^{19} m^{-3}$  میرنوفر است. در روند دوم نوسان‌های میرنوفر به هنگام تخلیه حذف می‌شوند و ناپایداری واهلشی همواره رخ می‌دهد. در این روند، انتشار پرتو X سخت از آغاز تخلیه‌ی الکتریکی مشاهده می‌شود. اخیراً ناپایداری سوت کش<sup>(۵)</sup> برای ناپایداری واهلشی روند دوم مطرح شده است [۱۶]. در توکامک دماوند هر دو روند اول و دوم مشاهده شد که در ادامه مورد بحث قرار می‌گیرد.

### ۳- نتایج تجربی پرتو X سخت در توکامک دماوند

توکامک دماوند توکامکی با ابعاد کوچک با مقطع تقریباً D شکل نزدیک به بیضی است. برای مطالعه‌ی پرتو X سخت در این توکامک تعدادی از شات‌ها انجام گرفت که در آن‌ها جریان بیشینه‌ی پلاسما از  $I_p \geq 32 kA$  تا  $I_p \geq 17 kA$  تغییر می‌کرد. از بین شات‌های انجام یافته شات‌هایی با جریان پلاسمایی بیشینه  $I_p = 17 kA$ ،  $I_p = 19 kA$ ،  $I_p = 29 kA$ ،  $I_p = 32 kA$  برای پلاسما در نظر گرفتیم. رفتارهای ولتاژ حلقه در این جریان‌های بالاتر و پایین‌تر از  $20 kA$  مشابه یک دیگراند ولی ولتاژ حلقه برای جریان‌های بالاتر از  $20 kA$  با یک سری پیک‌های مثبت و منفی قبل از فرایند گسیختگی همراه است. شکل ۱، تحول جریان پلاسما بر حسب زمان و پروفیل پرتو X سخت مشاهده شده منطبق بر جریان پلاسمایی بیشینه  $17 kA$  را نشان می‌دهد. در این شات گسیختگی پلاسما به وضوح دیده می‌شود و انتشار

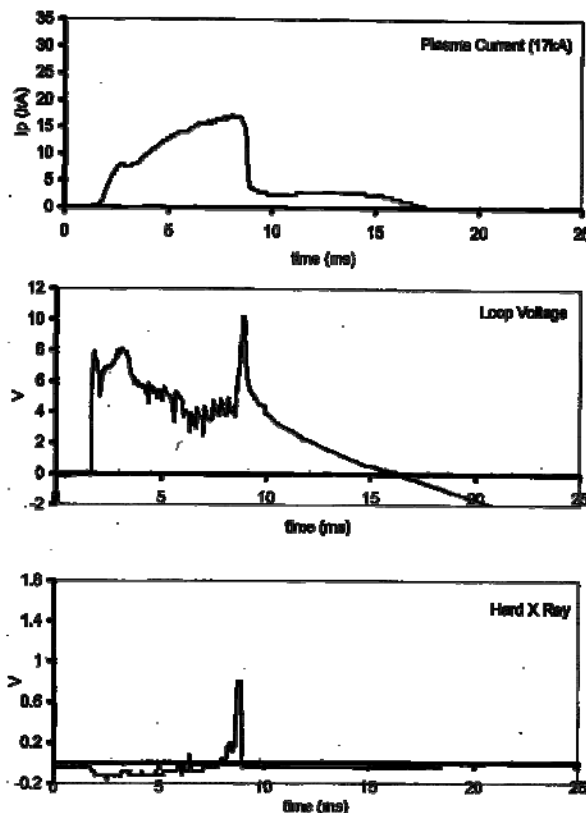
رشد  $n=1$  جزیره‌ی مغناطیسی قبل از هر گسیختگی معمولاً به وسیله‌ی معادله تغییر یافته‌ی رادرفورد توصیف می‌شود که به پارامتر پایداری مد پارگی  $\Delta_m'$  در پلاسما با چسبندگی  $\eta$  به اثرهای نئوکلاسیکی جریان‌های خود را انداز و شارش‌های یون وابسته است. تجزیه و تحلیل‌ها نشان داده است که در اثر برخوردها، رشد جزایر مغناطیسی اساساً با پارامتر پایداری مد پارگی مشخص می‌شود [۱۱].

$$\frac{dW_m}{dt} = (\eta / \mu_o) \Delta_m'$$

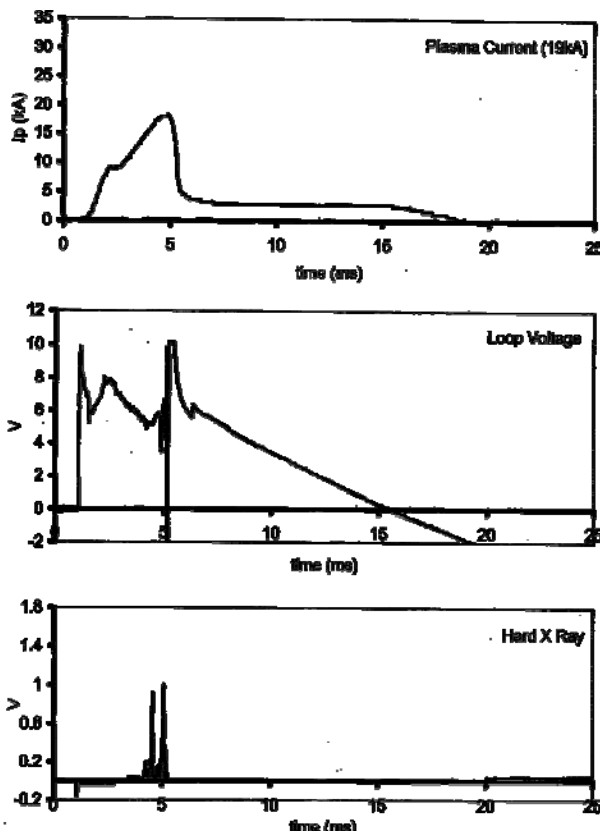
که در آن  $W_m$  پهنه‌ی جزیره،  $r_s$ ،  $W_m = 4(B_{rrs}R/nsB_1)^{1/2}$  شاعر سطح مغناطیسی و  $B_r$  اختلال میدان مغناطیسی شعاعی ناشی از مد MHD است.

اتصال مجدد خطوط میدان مغناطیسی حول نقاط X در جزایر مغناطیسی با تولید میدان‌های الکتریکی القایی همراه است. دامنه‌ی میدان الکتریکی با استفاده از رابطه‌ی  $E^* \approx (SB_t/16r_s)W_m dw_m/dt$  ارزیابی می‌شود که در آن،  $S = \frac{dq}{dr}$  برش مغناطیسی است. میدان‌های الکتریکی حدود  $E^* \approx 10 Vm^{-1}$  به هنگام فرایند، القا می‌شوند [۱۲].

تحول زمانی چگالی الکترون‌های غیرگرمایی تولید شده توسط میدان  $E^*$  در یک پلاسمای گرمایی با چگالی  $n_e$  مورد بررسی قرار گرفته است [۱۳ و ۱۴]. سازوکار اتلاف حاکم بر الکترون‌های غیرگرمایی به هنگام فرایند، تلاطم مغناطیسی بزرگ مقیاس را تشکیل می‌دهد. تجزیه و تحلیل قبلی نشان می‌دهد که بسته به آهنگ رشد و دامنه‌ی MHD، باریکه‌های جای گزیده‌ی مکانی الکترون‌های غیرگرمایی با چگالی‌های بالاتر از  $N_r \approx 7 \times 10^{17} m^{-3}$  می‌تواند حول جزایر مغناطیسی تولید شود [۱۰]. دو نوع ساز و کار تولید الکترون گریزان در پلاسما با اعمال میدان الکتریکی وجود دارد. اولی فرایند دریسر<sup>(۴)</sup> است که الکترون در اثر پخش در فضای سرعت به سرعت‌های بالاتر از یک سرعت بحرانی می‌رسد و بالاتر از یک آن نیروی اصطکاک ناشی از برخورد غلبه می‌کند. ساز و کار دوم تولید الکترون گریزان، برخوردهای الکترون‌های انرژی بالا با الکترون‌های گرمایی و یون‌ها است. این ساز و کار، الکترون‌های گریزان، بهمنی با ثابت زمانی  $\tau_{av} \alpha E$  فراهم می‌آورد [۱۵]. فرایند بهمن،



شکل ۱- تحول جریان پلاسمای زمانی، ولتاژ حلقه و پروفیل پرتو X سخت مشاهده شده منطبق بر جریان پلاسمایی بیشینه‌ی  $I_p = 17\text{kA}$ .



شکل ۲- تحول زمانی جریان پلاسمایی با بیشینه‌ی  $I_p = 19\text{kA}$ ، ولتاژ حلقه و پرتو X سخت.

پرتو X سخت در لحظات گسیختگی آشکار است. در شکل ۲ نتایج اندازه‌گیری‌های تحول جریان پلاسما  $I_p = 19\text{kA}$ ، بر حسب زمان، همراه با تحول ولتاژ حلقه و پرتو X سخت نشان داده شده است. در شکل‌های ۱ و ۲ ملاحظه می‌شود که جریان‌های مشابه یک‌دیگر است و پرتو X سخت در هنگام گسیختگی به وضوح دیده می‌شود. ولتاژ حلقه نیز از شروع جریان تا مرحله‌ی گسیختگی چندان تلاطمی ندارد. پیک منفی قبل از گسیختگی و پیک مثبت در لحظه گسیختگی آشکار است. توضیحاتی راجع به پیک‌های منفی و مثبت توسط بسیاری از محققین ارایه شده است که در اینجا به آن‌ها پرداخته نمی‌شود. شکل ۳ نمایان گر تحول زمانی جریان پلاسمایی با بیشینه‌ی  $I_p = 29\text{kA}$ ، ولتاژ حلقه و پرتو X سخت است. مدت دوام جریان پلاسما حدود  $20\text{ms}$  است. پرتو X سخت هنگام افزایش جریان و به هنگام گسیختگی آن مشاهده می‌شود. برای جریان پلاسمایی با بیشینه‌ی  $I_p = 32\text{kA}$  (شکل ۴) زمان دوام جریان  $20\text{ms}$  است و انتشار پرتو X سخت از هنگام افزایش تا مرحله‌ی پایان به طور آشکار مشاهده می‌شود. بررسی‌های بیشتر نشان داد که افت و خیزهایی در جریان پلاسما وجود دارد و پرتو X سخت منتشره در توکامک دماوند با یک سری پیک‌های مثبت تا پایان پلاسما دیده می‌شود (شکل‌های ۳ و ۴). نکته حائز اهمیتی که در این شات دیده شود این است که پایی نقاط شروع پیک‌های مثبت پرتو X نسبت به زمان افزایش می‌یابد. ولتاژ حلقه نیز در این شات با یک سری افت و خیز همراه بوده و پیک مثبت ولتاژ حلقه در لحظه گسیختگی  $\approx 2V_{i00} \approx 2V$  است. پای نقاط شروع پرتو X سخت تا زمان افزایش مؤثر جریان پلاسما ( $I_p < 20\text{kA}$ ) تقریباً ثابت می‌ماند ولی در جریان‌های پلاسمایی بزرگ‌تر از  $20\text{kA}$  افزایش می‌یابد (تا حدود  $32\text{kA}$ ) و با کم شدن جریان پلاسما تا پایان تخلیه‌ی الکتریکی پای نقاط شروع پرتو X سخت به طور چشم‌گیری افزایش می‌یابد.

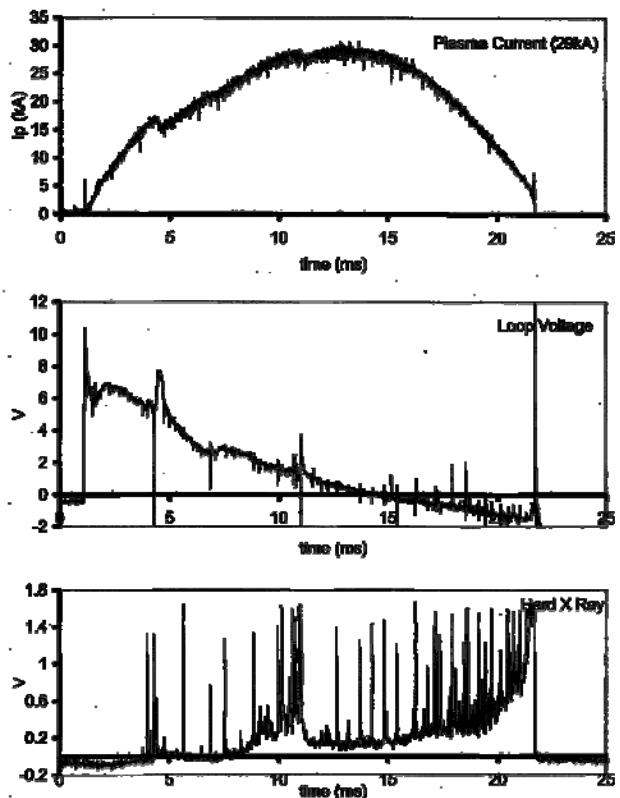
#### ۴- بحث و نتیجه‌گیری

مدل‌های اتصال مجدد خطوط میدان مغناطیسی (برخوردی و غیربرخوردی) در سال‌های اخیر مورد بررسی قرار گرفته است. مطالعه‌ی مقاومت جریان سطحی پلاسمای پارکر نشان داده است که این مدل مغناطیسی در نظریه‌ی اسویت پارکر نشان داده است که این مدل نمی‌تواند جوابگوی گرمایش پلاسمای رساندن الکترون‌ها به سرعت ابرگرمایی و در نتیجه پدیده‌ی بهمن باشد. مدل اتصال مجدد پتشک<sup>(۶)</sup> و ایجاد موج ضربه در این فرایند هم سبب افزایش مقاومت پلاسمای می‌شود. نظریه‌ی شبه خطی با عبور باریکه الکترونی گرم از داخل پلاسمای زمینه و به وجود آمدن امواج توصیف می‌شود که سبب گرم شدن پلاسمای گردد. نظریه‌ی افزایش مقاومت آنومالی به وسیله‌ی تلاطم در پلاسمای توضیح داده می‌شود که به اتصال مجدد سریع می‌انجامد. ناپایداری امواج سوت کش به عنوان عامل ناپایداری واهمشی و پدیده‌ی بهمن در روند دوم شناخته می‌شود.

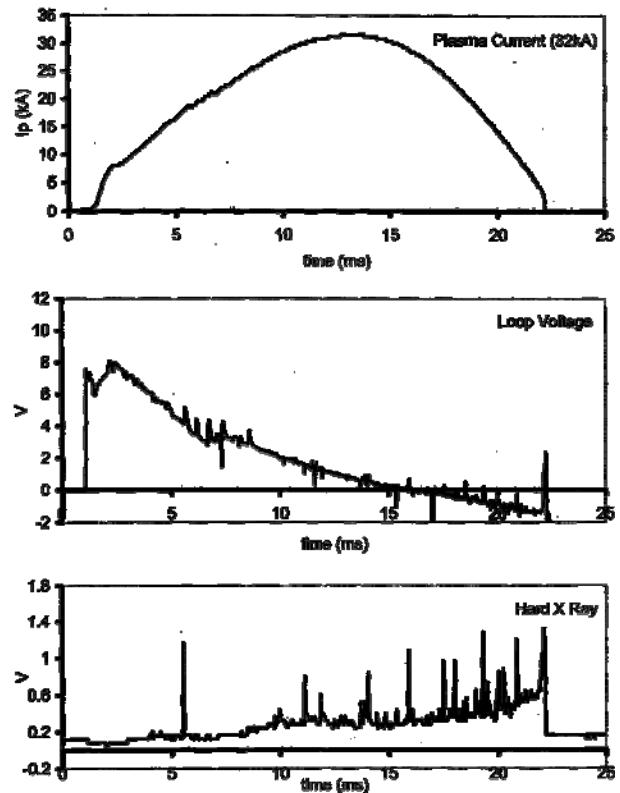
اندازه‌گیری پرتو X سخت در توکامک نشان داد که برای جریان‌های پلاسمای  $I_p > 20\text{ kA}$ , پرتو X سخت منتشره در گسیختگی اتفاق می‌افتد ولی برای جریان‌های پلاسمای  $I_p < 20\text{ kA}$ , پرتو X سخت منتشره از لحظه‌ی افزایش جریان تا مرحله‌ی پایان تخلیه‌ی الکتریکی مشاهده می‌شود. بنابراین دو ساز و کار تولید الکترون گریزان در پلاسمای توکامک مطرح شده‌اند. اولی دریسر می‌باشد که در آن میدان الکتریکی بر اثر گسیختگی از میدان بحرانی بیشتر شده و سبب شتاب گیری الکترون گریزان می‌گردد و برخورد این الکترون‌ها با دیواره، پرتو X سخت تولید می‌کند. در فرایند دوم برخورد الکترون‌های سریع دنباله‌ی تابع توزیع الکترون با الکترون‌های گرمایی سبب شتاب گیری آن‌ها شده و الکترون‌های گریزان بهمنی را تولید می‌کنند که پرتو X سخت ناشی از آن از لحظه‌ی شروع تخلیه تا پایان آن دیده می‌شود.

#### تشکر و قدردانی

از اعضای گروه توکامک دماوند در سازمان انرژی اتمی ایران که در تهیه‌ی داده‌های این تحقیق ما را یاری داده‌اند تشکر و قدردانی می‌شود.



شکل ۳- تحول زمانی جریان پلاسمایی با بیشینه‌ی  $I_p = 29\text{ kA}$ , ولتاژ حلقه و پرتو X سخت.



شکل ۴- تحول زمانی جریان پلاسمایی با بیشینه‌ی  $I_p = 32\text{ kA}$ , ولتاژ حلقه و پرتو X سخت.



۱- MHD: Magneto- Hydro Dynamics

۴- Dreicer

۲- Spontaneous

۵- Whistler

۳- Bursts

۶- Petschek

**References:**

1. B.B. Kadomtsev, "Magnetic field line reconnection," *Rep. Prog Phys.*, 50, 115-143 (1987).
2. F. Porcelli, "Collisionless m=1 tearing mode," *Phys. Rev. Lett.*, 66, 425 (1991).
3. J. Wesson, "Sawtooth reconnection," *Nuclear Fusion*, Vol 30, Issue 12, December (1990).
4. D. Grasso, M. Ottaviani, F. Porcelli, "Growth and stabilisation of drift-tearing modes in weakly collisional plasma," *Nuclear Fusion*, 42, 1067-1074 (2002).
5. J. Brin, J.F. Drake, M.A. Shay, B.N. Rogers, R.E. Denton, P.L. Pritchett, "Geospace environmental modeling (GEM) magnetic reconnection challenge," *J. Geophys. Res. (A3)* 3715-3719 (2001).
6. H. Ji, S. Terry, M. Yamada, R. Kulsrud, A. Kurisyn, Y. Ren, "Electromagnetic fluctuations during fast reconnection in a laboratory plasma," *phys. Rev. Lett.*, 115001 (2004).
7. A. Bhattacharjee, K. Germaschewski, C.S. Ng, "Currentsingularities: Driversof impulsive reconnection," *Physics of Plasmas*, 12, 042305 (2005).
8. Y. Saito, T. Mukai, T. Terasawa, A. Nishida, S. Machida, M. Hirahara, K. Maezawa, S. Kokubun, T. Yamamoto, "Slow-mode shocks in the magnetotail," *J. Geophys. Res.*, 100, 23567 (1995).
9. Y. Ono, M. Inomoto, Y. Ueda, T. Matsuyama, "Fast magnetic reconnection with anomalous ion heating and its application," *Science and Technology of Advanced Material*, Vol 2, Issues 3-4, 473-482 (2001).
10. R.V. Savrukhan, F. Porcelli, A.V. Sushkov, S.V. Tsau, V.V. Volkov, "Analysis of the small-scale plasma perturbation during density limit disruption in T-10 tokamak," *Nucl Fusion*, 44, 761-771 (2004).
11. D.A. Kislov, Yu.V. Esipchuk, N.A. Kimeva, Yu.D. Pavlov, A.A. Subbotin, V.V. Alikayev, A.A. Borshegovskiy, Yu. V. Gott, S.V. Krilov, T.B. Myalton, I.N. Roy, E.V. Trukhina, V.V. Volkov, T-10 Team, "Beta limit due to resistive tearing modes in T-10," *Nuclear Fusion*, 41, 1691-1624 (2001).
12. P.V. Savrukhan, "Observation of suprathermal electrons during magnetic reconnection," *Phys. Plasma*, 9, 3421 (2002).
13. "ITER physics expert group disruption plasma control and MHD, MHD stability, operational limits and disruptions," *Nucl. Fusion*, 39, 2251 (1999).
14. R. Jasper, N.J. Lopes Cardezo, F.C. Schuller, K.H. Finken, T. Grewe, G. Mank, "Disruption generated Runaway electrons in TEXTOR and ITER," *Nucl. Fusion*, 36, 367 (1996).
15. Yu.K. Kuznetsov, R.M.O. Galvao, V. Bellintanijr, A.A. Ferrira, A.M.M. Fonseca, I.C. Nascimento, L.F. Ruchko, E.A.O. Saetton, V.S. Tsypin, O.C. Usuriage, "Runaway discharges in TCABR," *Nucl. Fusion*, 44, 631-644 (2004).
16. A.G. Elfimov and R.M.O. Galvao, "Whistler instability driven by relativistic electron tail in tokamaks," *Plasma Phys. Control. Fusion*, 45, L63, L70 (2003).